

## 蠟石粉碎物의 充填性<sup>0</sup> 그 燒結性에 미치는 영향

\*池 應 業·崔 相 旭·柳 泰 源

仁荷大學校

(1977년 11월 30일 접수)

## Effect of Packing Characteristics on the Sintering Properties of Pyrophyllite

Ung-Up Chi\*, Sang-Wook Choi, Tae-Won Ryu

\*Aju Institute of Technology Inha University

(Received Nov. 30, 1977)

### ABSTRACT

Three kinds of specimen, consisting of the graded pyrophyllite particles alone, a substituent of 8 percent fire-clay for the finer portion ( $F_2$ ) of it, and 0.8 percent inorganic binder-added composite were prepared under the following conditions respectively: moisture content=4.5~5.0%, forming pressure=250kg/cm<sup>2</sup> and sintering temperature=1,000~1,300°C.

The various properties such as modulus of rupture, apparent porosity, bulk specific gravity, pore size and pore distribution were measured in order to collaborate with sintering phenomena.

The results obtained are as follows:

- (1) Apparent porosity is gradually decreased with rising the sintering temperature to 1,250°C.
- (2) The binder-added specimen showed the lowest value in porosity.
- (3) The optimum sintering temperature of specimens was considered to be 1,250°C
- (4) The wider differences between pore volumes of specimens could be obtained by method of mercury penetration porosimeter than by the conventional method for porosity.

### I. 緒 論

耐火벽돌의 높은 機械的強度와 耐侵蝕性을 인기 위해선은 原料의 粒度分布를 조절하여 耐火物의 氣孔率을 감소시킴으로써 組織의 치밀성을 평하는 경향이 있다<sup>1)</sup>.

더우기 粉碎物의 充填性은 粒子의 크기, 粒子의 모양 및 粒度分布에 의하여 결정되고 이들의 相關性에 대한 理論的 추구와 實驗的 관찰이 많이 보고되었는데<sup>2~8)</sup> 滑石直幸<sup>9)</sup>은 燒結體의 氣孔率 및 機械的強度 등에 대하여 充填度 및 成形條件과 관련하여 研究하였고

\*아주공과대학

J. H. Koenig<sup>7)</sup>은 粒度分布와 粒子모양이 燒結體의 性質에 중요한 영향을 미치는 要素라고 보고한 바 있다. D. R. Wilder<sup>9)</sup>는 燒結을 일으키게 하는 힘이 粒子의 크기와 깊은 관계가 있다고 했고 Norton<sup>10)</sup>은 燒結 과정에서 鑽物組成의 變化, 相轉移, 粒子의 表面積 감소, 表面自由에너지의 감소 및 物質移動이 생기고 粒子가 서로 연결되어 밀폐기공도 형성되며 氣孔의 크기, 氣孔의 모양 및 氣孔率等이 變化하면서 치밀한 黑茶體가 이루어진다고 하였다. D. W. Budworth<sup>11)</sup>는 多孔體를 燒成할 때 생성되는 밀폐기공 및 개방기공의 量的變化를 表面에너지로서 설명하였고 氣孔의 크기, 氣孔의

모양 및 氣孔의 分布狀態를 측정하는 방법에 대하여 N. F. Astbury<sup>12)</sup>가 둘은 전해질 용액이 시편의 모세관 기공에 흡수되는 속도를 측정하여 기공의 크기, 분포 상태를 관찰했는데 A. Waston<sup>13)</sup>과 D. G. Beech<sup>14)</sup>는 水銀壓入장치를 이용하여 측정하였으나 그 밖에 電子顯微鏡에 의한 직접 관찰방법도 있다.

본 연구에서는 池塵業等<sup>15)</sup>에 의하여 연구된 바 있는 국산 粉碎物의 연속입자 충전성이 燒結體에 미치는 영향에 대하여 比重, 氣孔率, 機械的強度, 氣孔의 크기 및 氣孔의 分布 등과 관련시켜 연구하였다.

Table 1. Chemical Composition and Physical Properties of Phryrophyllite

SiO <sub>2</sub>	Al <sub>2</sub> O <sub>3</sub>	Fe <sub>2</sub> O <sub>4</sub>	RO	Ig. loss	SK	True sp. gr.	True sp. gr. (fired at 1250°C)
72.70	21.65	0.33	1.00	4.32	29	2.67	2.72

## 2. 試料의 配合 및 濕水量의 決定

池塵業等<sup>15)</sup>에 의하여 발표된 바 있는 결과에 따라 남석 粉碎物을 C<sub>1</sub>(5.66~2.83mm), C<sub>2</sub>(2.83~1.19mm), M<sub>1</sub>(1.19~0.50mm), M<sub>2</sub>(0.50~0.21mm), F<sub>1</sub>(0.21~0.053mm), F<sub>2</sub>(0.053mm 이하) 6種의 粒子크기로 分離한 다음 각 粒子를組合한 것 중에 가장 充填率이 높은 (80.5%)<sup>15)</sup> C( $\frac{C_1+C_2}{2}$ ), M( $\frac{M_1+M_2}{2}$ ), F( $\frac{F_1+F_2}{2}$ )의 等量混合物의 比率이 50:25:25되게 섞은 연속입자혼합물을 실험에 사용하였다. 여기에 0.8%의 인산 규산소다를 결합제로 첨가한 시료(B)와 첨가하지 않은 시료(S), 남석 微粉인 F<sub>2</sub> 8%대신에 점토를 넣고 결합제 0.8% 넣은 시료(CB)에 각각 3~6%의 물을 섞어 250 kg/cm<sup>2</sup>의 成形壓으로 成形하여 成形體의 specific bulk volume을 측정하고 理論氣孔率을 계산하였는데 그 결과는 Fig. 1 및 Fig. 2와 같다.

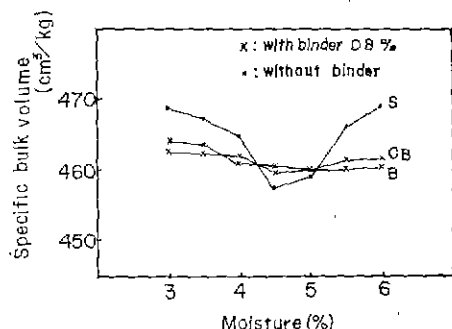


Fig. 1. Effect of Moisture on Specific Bulk Volume.

이 그림에서 specific-bulk volume은 결합제를 첨가한 두 경우 5%일 때 가장 낮았고 결합제를 첨가하지 않은

## II. 實驗方法

## 1. 사용原料

사용한 남석原料는 不純物이 적고 SiO<sub>2</sub>의 함량이 비교적 많은 남석을 원료로 사용하였으며 일반 공장에서耐火物製造를 위해 破碎한 것을 입으로 체취하여 3.5 mesh 체를 통과한 것을 試片제조에 사용하였다. 시료의 化學分析, 耐火度及比重을 측정한 결과는 Table 1과 같다.

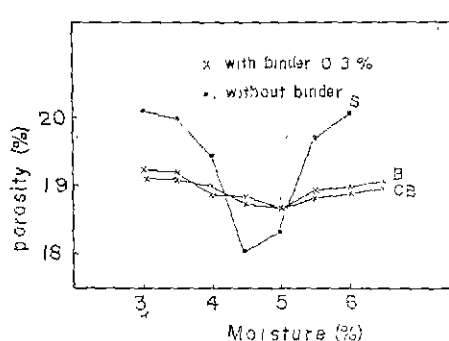


Fig. 2. Effect of Moisture on Porosity. (by calculation).

은 경우 水分 4.5%일 때 가장 낮았다. 氣孔率도 전파 같은 水分량에서 각각 가장 낮은 값을 나타내었으며 두 특성 모두 결합제를 첨가한 편이 각 濕水量에서 큰 차이를 보이지 않으나 결합제를 넣지 않은 시편은 수분의 첨가량에 따라 큰 변화를 보여 주었다. S-試片의 경우 濕水量이 적으면 粒子間 도는 壓縮과의 마찰이 커서 充分히 壓縮되지 않을 뿐 아니라 脫塑시켰을 때 原料-물-공기系의 壓縮物이多少膨脹되기 때문에 specific bulk volume과 氣孔率가 크고 濕水量이 적당할 때 成形壓에 대한 粒子間 또는 벽과의 마찰이 커고 弹性에 의한膨脹도 없어 두特性은 강조되어 最密充填物이 된다. 물의 量이 더增加될 때는 그增加量만큼 全부피가增加되는 현상을 나타낸다고 생각된다. 그러나 binder가 첨가된 B와 CB-試片은 합수규산염의 용액을 포함하고 있어 그것이 減摩剤의 역할을 하게 되어 적은 水分量에서도 成形壓下에서充填이比較의 잘 이루어 지고, 많은 水分量에서는 binder自身의 結晶水가 필요함으로 水分增加量만큼 全부피의增加가

되지 않기 때문에 두特性의變化曲線이 S-試片에서 보다 크게 완만한 것으로 생각된다.

### 3. 試片의 成形

Table 2. Mixing Ratio of Green Body

Specimen	Continuous graded Pyrophyllite (gr.)	Clay (gr.)	Binder (gr.)	Water (gr.)
S	100	—	—	4.5
B	100	—	0.8	5
CB	92	8*	0.8	5

\* 8% of clay mixed in CB-group is a substitution of fine particle ( $F_2$ ) in B specimen.

### 4. 試片의 燒成

成形한 試片을 충분히 乾燥시킨 다음  $1000^{\circ}\text{C}$ ,  $1050^{\circ}\text{C}$ ,  $1100^{\circ}\text{C}$ ,  $1150^{\circ}\text{C}$ ,  $1200^{\circ}\text{C}$ ,  $1250^{\circ}\text{C}$  및  $1300^{\circ}\text{C}$ 에서 각각 燒成하였으며 最高溫度에서 1시간 유지시킨 후 자연冷却하였다.

### 5. 物性實驗

#### 5.1 摧毀強度

서편의 摧毀強度시험은 KS L 3110 (내화벽돌의 摧毀強度시험방법)에 따라 행하였다.

#### 5.2 氣孔率 및 부피비중

氣孔率 및 부피비중은 KS L 3114 (내화벽돌의 기공율, 흡수율 및 비중측정방법)에 따라 행하였다.

#### 5.3 氣孔의 分布

氣孔의 크기 및 比容積은 美國 Micromeritics Instrument Co.의 model 900/910인 mercury penetration porosimeter로  $44\mu\text{m}$ 와  $12\mu\text{m}$  두 氣孔에 대하여 측정하였으며 각 試片에 대하여 氣孔의 크기가 차지하는 氣孔의 比容積(cc/gr.)을 다음 식에 따라 계산하였다.

$$\pi r^2 p = -2\pi r \sigma \cos \theta \quad \dots \dots \dots (1)$$

$$rp = -2\sigma \cos \theta \quad \dots \dots \dots (2)$$

$$r = -\frac{2\sigma \cos \theta}{p} \quad \dots \dots \dots (3)$$

여기서  $r$ 은 氣孔의 반지름,  $p$ 는 水銀에 加한 壓力,  $\sigma$ 는 水銀의 表面張力,  $\theta$ 는 水銀과 固體의 접촉각을 나타내는 기호이고  $p$ 를 變化시킴에 따라 氣孔의 크기 및 침투한 水銀의 量에 의하여 氣孔의 부피를 求할 수 있다.

pore size를 측정하기 위한 수은 압입법에서 보통 다공질의 물질은  $2.2\text{lb/in}^2$ 에서  $82\mu\text{m}$ 의 氣孔에 수은이 침투하게 되는데 水銀의 침투로 氣孔의 크기와 空隙을 측정 할 수 있다. 水銀의 表面張力은  $25^{\circ}\text{C}$ 에서  $474\text{dyne/cm}^{19}$ 로 작은 氣孔에 들이가지 않으며 압력을 加하면 뛰어나오게 된다. 보통 액체는 고체와 접촉각이  $90^{\circ}$ 보다 커서 고체사이의 빈 공간이나 氣孔에 침투

試片을 만들기 위한 試料의 配合을 Table 2와 같이 하여 충분히 혼합한 다음 가로 14cm, 세로 2cm인 mold에서 成形壓  $250\text{kg/cm}^2$ 로 加壓成形하였다.

하게 되는데 水銀은 응집력이 커서 공간이나 기공의 크기를 구하는데 가장 안정하다<sup>18)</sup>.

### III. 實驗結果 및 考察

#### 1. 摧毀強度

남석단미로 제조한 S-試片, 結合劑를 첨가한 B-試片 및 結合劑와 粘土를 첨가한 CB-試片에 대하여 摧毀強度를 측정한 결과를 Fig. 3에 나타내었다.

이 그림에서 보면 S-試片의 摧毀強度가 모든 燒成溫度에서 가장 낮았고 燒成溫度  $1150^{\circ}\text{C}$ 까지는 B-試片이 CB-試片보다 낮은 값이 있으나  $1200^{\circ}\text{C}$  이상에서는 B-試片이 크게 나타났다. 이 현상은 CB-試片內의 粘土가 低溫에서는多少 燒結性을 나타내나  $1200^{\circ}\text{C}$ 以上에서는一部 熔融 및 matrix의 收縮으로粗粒子인 磷石의 공극을密閉氣孔으로 만들어 주기 때문에  $1200^{\circ}\text{C}$ 以上에서 粘土보다 수축이 작은 磷石의 微粉으로 된 B-試片쪽이 高溫에서 燒結性과 치밀성을 나타내어 더 큰 強度가 유지 되는 것으로 생각된다.

$1250^{\circ}\text{C}$ 에서 燒成된 3試片들의 摧毀強度는 다른 溫度의 것들에 比하여 가장 큰 값이 있고  $1300^{\circ}\text{C}$ 에서 燒成한 試片들은 오히려 감소된 경향을 보였다. 그리고 binder를 첨가한 B와 CB-試片은  $1200\sim1250^{\circ}\text{C}$ 에서 급격한 強度의 變化를 나타내었으나 binder를 넣지 않은 S-試片은比較的 적은 變化를 보았다. S-試片을 基準하여 다른 두 試片의 強度를 보면 각 燒成溫度에서 差異를 나타내고 있는데 이것은 binder와 粘土의 添加에 대한 燒結效果로 보이며 특히  $1200^{\circ}\text{C}$ 以上에서는 磷石自身的 燃燒性이增加된 경향을 보이나 binder와 粘土를 添加한 試片들의  $1200\sim1250^{\circ}\text{C}$ 에서 급격한 增加는 이 溫度범위에서 가장 큰 燒結效果를 나타내는 것으로 판단된다.  $1300^{\circ}\text{C}$ 에서는 試片들의 表面 및 內部에 생긴 細胞裂때문에  $1250^{\circ}\text{C}$ 에서 燒成한 試片들보다 오히려 낮은값을 보였는데 이는 粗은粒子와 가는 粒子

間에 다른構成相이生成되어 이들의熱膨脹係數, 热傳導度 또는彈性率의差異때문에龜裂이생긴것으로 생각되고低溫에서는粗粒子와微粒子間의相的構成에있어 거의變化가없기때문에溫度變化에대한物性의差異가거의없는것으로여겨지나별도의연구가필요할것으로본다.

### 2. 겔보기 氣孔率 및 부피比重

3種의試片에 대하여氣孔率를 측정하여Fig. 4에 나타내었으며부피비중을 측정하여Fig. 5에 나타내었다.

Fig. 4를 보면燒成溫度가상승됨에따라각試片의氣孔率은감소하였고B-試片의경우1000°C의燒成溫度에서의것은예의이나다른燒溫溫度의것은가장낮은氣孔率를나타내었다.또한1250°C에서燒成한각試片의氣孔率이가장낮았고1300°C에서燒成한試片은氣孔率이증가되었다.이현상을종합해보면1250°C에서燒成함으로서가장낮은氣孔率의試片을얻었고1300°C에서는龜裂때문에높은氣孔의試片이얻어졌는데이는꺾임강도에서의경향과비슷하여그原因도같을것으로생각된다.

Fig. 5에서나타낸부피比重은燒成溫度가상승됨에따라다소불규칙적이지만증가하여1250°C의燒成溫度에서最大의값을나타내고1300°C의燒成試片을감소되는경향을보여주었다.

이상에서살펴본물성에서1250°C에서燒成한試片이가장좋았고이중에礫石과binder로된B-試片이가장우수하고礫石,粘土및binder로된CB-試片이그다음이고礫石만으로된S-試片이상당한큰차이로가장나빴다.따라서binder의燒結效果는크게나타났으나수축률이다른粘土의添加는燒結效果에오히려나쁜영향을주었다.이는充填性이가장좋은粒子混合物의微粒代身에物性이다른粘土를添加하였으나燒成中에膨脹收縮의相異에의하여充填性이나빠진것으로생각된다.그리고氣孔率이가장작은B-試片(25.7%)이꺾임강도와부피비중이가장컸고氣孔率이가장큰S-試片(26.1%)이꺾임강도와부피비중이가장작아그값들의變化率이거의비슷하였는데이는各物性間의關聯性을나타내는것으로생각된다.

### 3. 氣孔의 分布

1250°C에서燒成하여가장낮은氣孔率을얻은B-試片,CB-充片및S-試片에대하여44μm와12μm의두氣孔크기에대하여比容積을측정하여Table 3에나타내었다.

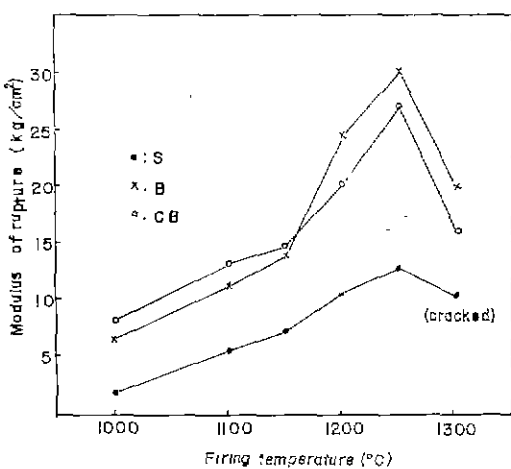


Fig. 3. Effect of Firing Temperature on Modulus of Rupture.

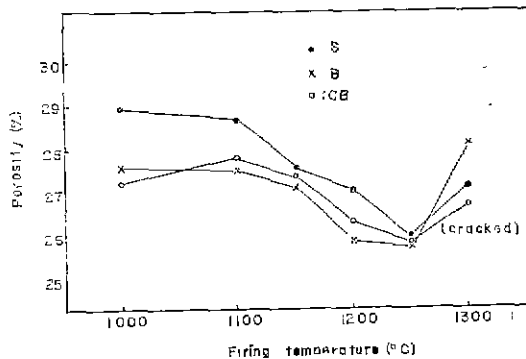


Fig. 4. Effect of Firing Temperature on Porosity.

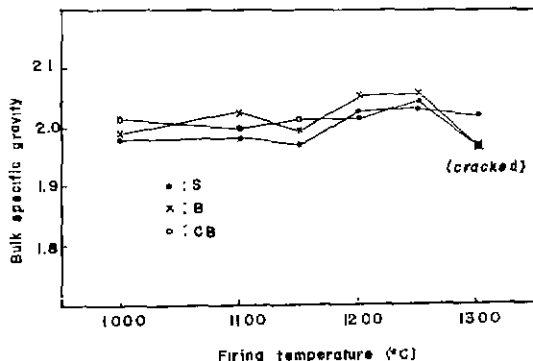


Fig. 5. Effect of Firing Temperature on Bulk Specific Gravity.

Table 3. Pore Size and Pore Volume of Specimens.

Specimen*	Pore size ( $\mu\text{m}$ )	Specific pore volume (cc/gr.)
S	total pore	0.0933
	>44 (open pore)	0.0056
	44~12 ("")	0.0138
	12>	0.0739
B	total pore	0.0906
	>44 (open pore)	0.0064
	44~12 ("")	0.0215
	12>	0.0627
CB	total pore	0.0916
	>44 (open pore)	0.0041
	44~12 ("")	0.0244
	12>	0.0631

\* Specimens were to be sintered at 1250°C

이 표에서 氣孔의 크기가 44 $\mu\text{m}$ 까지는 S-, B-, CB-試片이 모두 비슷한 양의 氣孔부피를 갖지만 12~44 $\mu\text{m}$ 의 범위에서는 S-試片보다 B-, CB-試片이 더 많은 氣孔부피를 포함하고 있다. 12 $\mu\text{m}$  미만의 氣孔의 크기는 위의 比容積과 比重값으로 계산하여 얻은 것으로 S-가 B-, CB-試片보다 큰 氣孔부피를 포함하고 있다. 그리고 전체 氣孔의 69% 이상이 12 $\mu\text{m}$  미만으로 나타나 있는데 이것은 가는 모세관과 밀폐기공이 대부분 차지하고 있음을 보여 주고 있다. 실제 여기서 사용한 장치로써 12 $\mu\text{m}$  미만의 氣孔을 分析하기는 不可能하였다.

#### IV. 結論

化學成分上 비교적 不純物이 적고  $\text{SiO}_2$  成分이 많은 납석粉碎物을 연속입자와 最密充填方法으로 配合하여 얻은 치밀한 成形體를 烧成하여 完眞性과 烧結性에 대한 설령을 한 결과 다음과 같은 結論을 얻었다.

- 1) 烧成溫度가 높을수록 일반적으로 氣孔率은 감소하였고 결합제만 첨가한 것이 단미나 粘土를 첨가한 것보다 더 낮은 氣孔率를 나타내었다.
- 2) 꺾임강도 및 氣孔率의 값으로 보아 1,250°C 가 最適燒成溫度임을 알았다.
- 3) 最適燒成溫度인 1,250°C 에서 烧成한 3種의 試片에 대하여 氣孔의 크기 및 比容積 (specific volume)

을 mercury penetration porosimeter로 측정한 결과는 계체식 공기용 측정의 결과 값보다 더 큰 차이를 나타내있다.

#### 참 고 문 헌

- 1) 이종근 外: “내화물 공학” 145-149. 요업협회.
- 2) R. L. Coble: “Effect of Particle-Size Distribution in Initial-Stage Sintering” *J. Am. Cer. Soc.* 56(9), 461-466 (1973).
- 3) A. E. R. Westerman, H. R. Hugill: “The Packing of Particles” *J. Am. Cer. Soc.* 13, 769-799 (1930).
- 4) R. K. McGeary: “Mechanical Packing of Spherical Particles” *J. Am. Cer. Soc.* 44(10), 513-522 (1961).
- 5) C. C. Furnas: Grinding Aggregate Mathematics Relation for Beds of Broken Solids of Maximum Density” *Ind. Eng. Chem.* 23(9), 1052-1058 (1931).
- 6) 滑石直幸 外: “고 규산질 원료의 특성에 대하여” 耐火物(日) 25(9) 408-419 (1973).
- 7) J. H. Koening: Particles Size Distribution of Ingredients vs. Body Properties” *J. Am. Cer. Soc. Bull.* 19(11), 424-430 (1940).
- 8) “요업공학 Hand Book” 405-410. 技報堂, 昭和 42년.
- 9) D. R. Wilder: “Further Study of Sintering Phenomena” *J. Am. Cer. Soc.* 38(2), 66-71 (1955).
- 10) W. D. Kingery: “Intro. to Ceramics” 404, 721-722 (1960).
- 11) D. W. Budworth: “Theory of Pore Closure During Sintering” *Trans. Brit. Cer. Soc.* 69(1), 29-31 (1970).
- 12) N. F. Astbury: “A New Method for the Study of Pore Size Distribution” *Trans. Brit. Cer. Soc.* 71(4), 77-85 (1972).
- 13) A. Watson & B. Butterworth: “Studies of Pore Size Distribution” Academic Press. London. 187-199, 201-220 (1967).
- 14) D. G. Beech: “A New Method for the Study of Pore Size Distribution” *Trans. Brit. Cer. Soc.* 71(4), 87-96 (1964).
- 15) 지응립, 한기성, 최상우: “납석질 충전에 관한 연구” 요업회지, 12(2), 33-37 (1973).
- 16) D. Lynn Johnson: “A General Model for the Inte-

납석분체물의 층진성이 그 소결에 미치는 영향

- rmediate Stage of Sintering" *J. Am. Cer. Soc.* 53(10), 574-577 (1970)
- 17) 지웅업, 한기성, 최상우. "지온소성 납석질 벽돌의 특성에 관한 연구" *요업회지*, 12(2), 33-39 (1975).
- 18) Hillar M. Rootare Carl F. Pierzlow: "Surface Areas from Mercury Porosimeter Measurement" *J. Phy. Chem.* 71(8), 2733-2736(1967).
- 19) H. B. Weiser: "A Textbook of Colloid Chemistry" 2nd, John Wiley and Sons, Inc. N. Y. 79 (1949).